

УДК 629.735.03

**Ю. Ю. Терещенко, к.т.н.
К. В. Дорошенко, к.т.н.
Ю. М. Терещенко, д.т.н.**

ПЕРСПЕКТИВИ СТВОРЕННЯ АВІАЦІЙНИХ ДВИГУНІВ З ТУРБОВЕНТИЛЯТОРНОЮ ПРИСТАВКОЮ

Національний авіаційний університет, м. Київ, terj@nau.edu.ua

В роботі розглянуто проблему створення газотурбінних двигунів модульної конструкції на основі універсального базового газогенератора. Показана перспективність використання універсального базового двоконтурного газогенератора у вирішенні задач покращення параметрів та характеристик газотурбінних двигунів модульної конструкції із заднім розташуванням турбовентиляторної приставки.

Ключові слова: газотурбінний двигун, універсальний базовий газогенератор, модуль турбовентиляторної приставки

Вступ

Створення газотурбінних двигунів на базі універсального газогенератора для перспективних літальних апаратів є надзвичайно актуальною науково-технічною проблемою [1, с.15-53]. Із застосуванням універсального базового газогенератора створюється декілька типів газотурбінних двигунів (ГТД) із різними параметрами і характеристиками. На рис.1 представлено схема створення різних типів ГТД на базі універсального газогенератора.

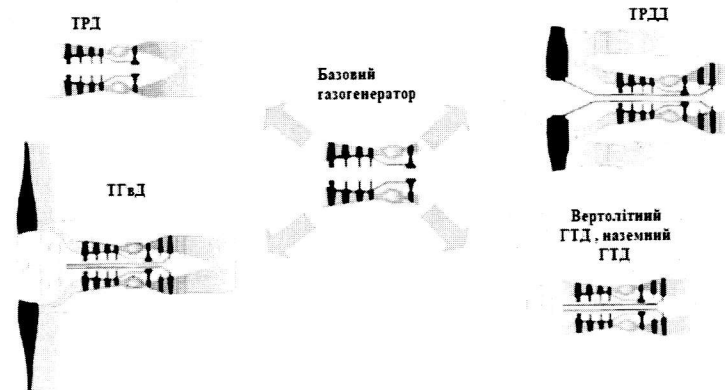


Рис.1. Застосування базового універсального газогенератора

Недолік типового компонування модуля вентилятора перед модулем базового газогенератора полягає в його негативному впливі на параметри компресора газогенератора. Усунути негативний вплив модуля вентилятора можна шляхом застосування турбовентиляторної приставки. Турбовентиляторна приставка розташовується за турбіною газогенератора (рис.2). Використання турбовентиляторної приставки дозволяє з якнайменшими витратами створювати сімейство газотурбінних двигунів на основі базового газогенератора.

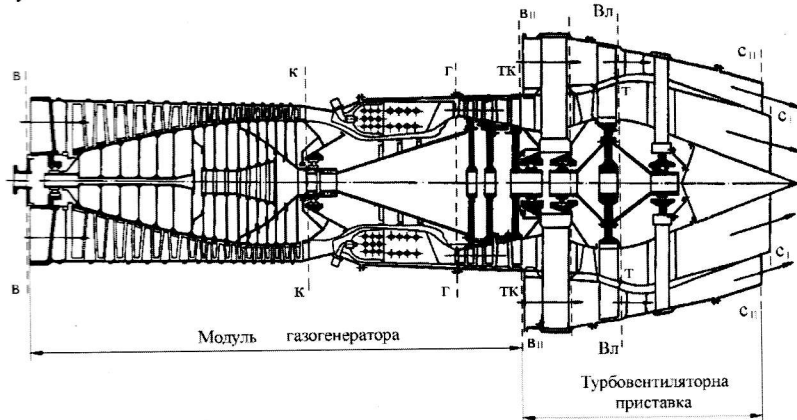
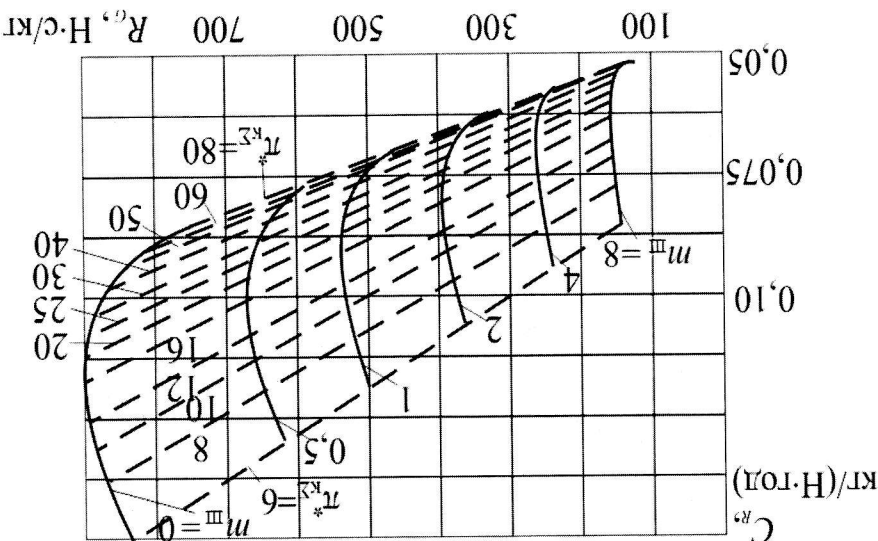


Рис. 2. Схема ТРД з турбовентиляторною приставкою на базі модуля одноконтурного базового газогенератора

Любоватиємо будинок структури таєкоти R_g і C_r зважаючи на обсяг розрахунків, які вимагають великої кількості обчислень. Для цього використовується методика, яка дозволяє отримати результати з достатньою точністю за менші обсяги обчислень.

На рис. 4. зображене залежності R_g і C_r від температур T_f , при яких $m^* = \text{const}$, та залежності R_g від C_r при $T_f = 1400 \dots 1600 \text{K}$.

Рис. 3. Залежності R_g і C_r від параметрів подогорю напоєчої TPT

Для розрахунків використовується залежність $R_g = f(T_f)$ з рис. 3, яка виконується в умовах, коли $m^* = \text{const}$. Використання цієї залежності дозволяє отримати результати з достатньою точністю, що підтверджується результатами, отриманими за допомогою методики, описаної в [2].

Випливання засобів забезпечення

Випливання засобів забезпечення використовується для зменшення витрати енергетичних ресурсів та зниження викидів в атмосферу. Важливо зазначити, що засоби забезпечення використовуються для зниження викидів в атмосферу та зниження витрати енергетичних ресурсів.

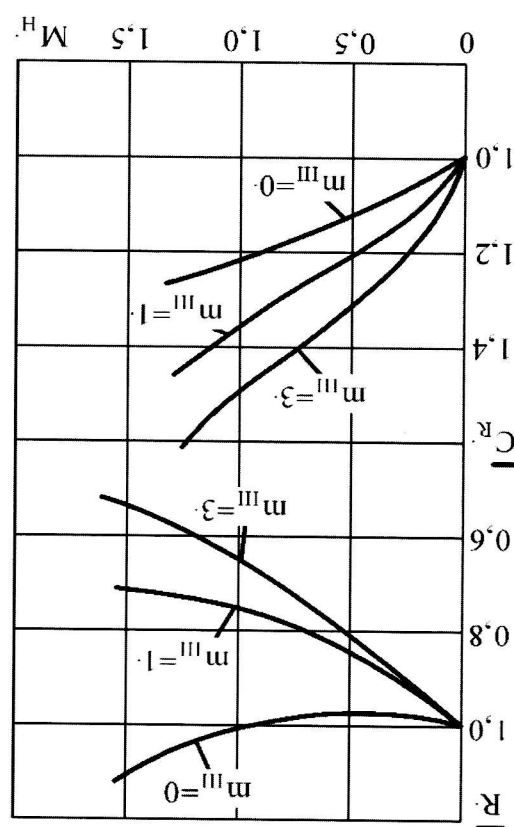
Аналіз показує, що засоби забезпечення використовуються для зниження викидів в атмосферу та зниження витрати енергетичних ресурсів.

Аналіз засобів забезпечення та використання

Показано, що засоби забезпечення використовуються для зниження викидів в атмосферу та зниження витрати енергетичних ресурсів.

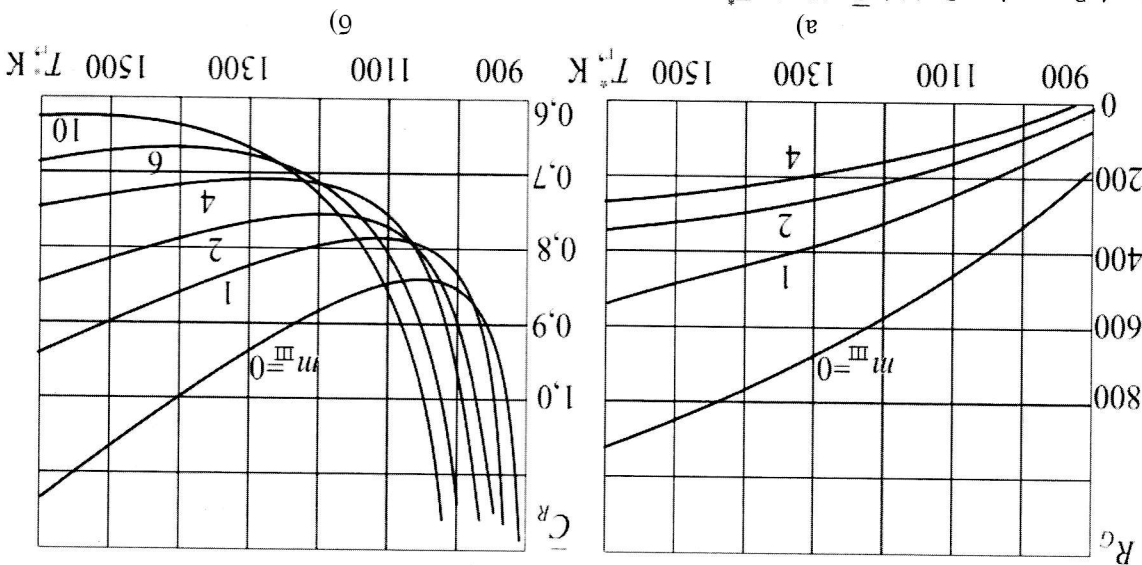
Аналіз показує, що засоби забезпечення використовуються для зниження викидів в атмосферу та зниження витрати енергетичних ресурсів.

Рис.5. Діаграми залежності T_{PT} від m_{III} при різних тискотипах



На рис.5 зображені діаграми залежності T_{PT} від m_{III} при різних тискотипах ($m_{III} = 0, 1, 2, 3, 4, 5$) для оптимального умови.

Рис.4. Залежності R_g і C_g від T при різних значеннях тискотипу m_{III} (при $m_I = 1,3$)



мі). Величини $R_g = R_g/R_{g0}$ і $C_g = C_g/C_{g0}$ залежать від m_{III} за законом, який має вигляд $R_g \propto C_g \propto e^{-\frac{E}{RT}}$, де E – константа, яка залежить від хімічного складу та температури. При $m_{III} = 0$ та $m_{III} = 1,3$ відповідно $R_g = 0,65$ і $C_g = 0,65$.

Дросельні характеристики ТРТД з різними ступенями триконтурності, що отримані розрахунковим шляхом при застосуванні універсального базового газогенератора (при $m_l = 1,3$), показано на рис. 6.

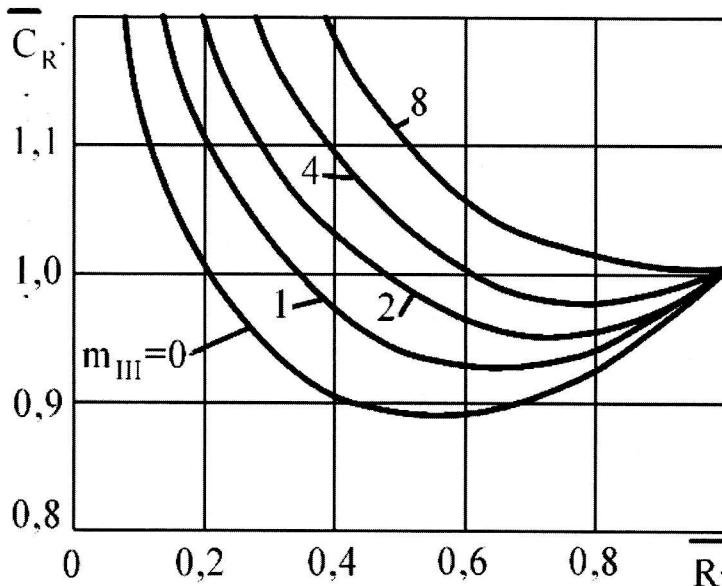


Рис. 6. Дросельна характеристика ТРТД (при $m_l = 1,3$)

Як слід з розглядання цих графіків, на значення питомої витрати палива при дроселюванні ТРТД істотно впливає розрахунковий ступінь триконтурності m_{III} . Це пояснюється відхиленнями розподілу роботи циклу першого контуру L_{II} між контурами від оптимального.

Висновки

Результати розрахункових досліджень параметрів та характеристик триконтурних ГТД свідчать про перспективність використання універсального базового двоконтурного газогенератора у вирішенні проблеми покращення параметрів та характеристик ГТД модульної конструкції із заднім розташуванням турбовентиляторної приставки.

Список літературних джерел

1. Терещенко Ю.М. Авіаційні газотурбінні двигуни / Ю.М. Терещенко, М.М. Мітрахович – К.: КВЦ, 2001. – 312 с.
2. Терещенко Ю.М. Теория авиационных трехконтурных турбореактивных двигателей. Монография / Ю.М. Терещенко, Н. С. Кулик, И.А. Ластивка, Л.Г. Волянская, Ю.Ю. Терещенко. – К.: Изд. Нац. авиац. ун-та «НАУ-друк», 2010. – 116с.
3. Авиационные двигатели и силовые установки: сб. трудов/ Центральный Аэрогидродинамический институт; под ред А. И. Ланшина – М.: ТОРУС ПРЕСС, 2010. – 520 с.
2. Schobeiri, M. Turbomachinery Flow Physics and Dynamic Performance / M. Schobeiri. – Berlin, Germany, 2005. – 534 p. doi: 10.1007/b137854 (eng)
3. A Review of Engine Seal Performance and Requirements for Current and Future Army Engine Platforms: технич. отчет / NASA; I. R. Delgado, M.P. Proctor. – TM2008-215161. – Hanover, 2008. – 23 p. doi.org/10.2514/6.2007-5734
4. Future Heavy Duty Trucking Engine Requirements: технич. отчет / NASA; L. W. Strawhorn, V. A. Suski. – CR-174996. – Cleveland, 1985. – 168 p.
5. Blended Wing Body Concept Development with Open Rotor Engine Integration: технич. отчет / NASA; D. M. Pitera, M. De Haan, D. Brown, R. T. Kawai, S. Hollowell, P. Camacho, D. Bruns, B. K. Rawden. – CR2011-217303. – Hanover, 2011. – 76 p.